

拉伸法和动力学法测量弹性模量 实验报告

双 33A 组

石健

2007010241

实验日期：2008 年 12 月 17 日

第一部分 拉伸法测弹性模量

1.1 实验目的

- (1) 学习用拉伸法测量弹性模量的方法；
- (2) 掌握螺旋测微计和读数显微镜的使用；
- (3) 学习用逐差法处理数据。

1.2 实验原理

1.2.1 弹性模量及其测量方法

本实验讨论最简单的形变——拉伸形变，即棒状物体（或金属丝）仅受轴向外力作用而发生伸长的形变（称拉伸形变）。设有一长度为 L ，截面积为 S 的均匀金属丝，沿长度方向受一外力 F 后金属丝伸长 δL 。单位横截面积上的垂直作用力 F/S 成为正应力，金属丝的相对伸长 $\delta L/L$ 称为线应变。实验结果指出，在弹性形变范围内，正应力与线应变成正比，即

$$\frac{F}{S} = E \frac{\delta L}{L}$$

该规律称为胡克定律。式中比例系数

$$E = \frac{F/S}{\delta L/L}$$

称为材料的弹性模量。它表征材料本身的性质， E 越大的材料，要使他发生一定的相对形变所需的单位横截面积上的作用力也越大。一些常用材料的 E 值见表 1。 E 的单位为Pa（ $1\text{Pa} = 1\text{N/m}^2$ ； $1\text{GPa} = 10^9\text{Pa}$ ）。

表 1 一些常用材料的弹性模量

材料名称	钢	铁	铜	铝	铅	玻璃	橡胶
E/GPa	196~216	113~157	73~127	约 70	约 17	约 55	约 0.0078

本实验测量的是钢丝的弹性模量，如果测得钢丝的直径为 D ，则可以进一步把 E 写成：

$$E = \frac{4FL}{\pi D^2 \delta L}$$

测量钢丝的弹性模量的方法是将钢丝悬挂于支架上，上端固定，下端加砝码对钢丝施力 F ，测出钢丝相应的伸长量 δL ，即可求出 E 。钢丝长度 L 用钢尺测量，钢丝直径 D 用螺旋测微计测量，力 F 由砝码的重力 $F = mg$ 求出。实验的主要问题是测准 δL 。 δL 一般很小，约 10^{-1}mm 数量级，在本实验中用读数显微镜测量（也可利用光杠杆法或其他方法测量）。为了使测量的 δL 更准确些，采用测量多个 δL 的方法以减少测量的随机误差，即在钢丝下端每加一个砝码测一次伸长位置，逐个累加砝码，逐次记录伸长位置。通过数据处理求出 δL 。

1.2.2 逐差法处理数据

如果用上述方法测量 10 次得到相应的伸长位置 y_1, y_2, \dots, y_{10} ，如何处理数据，算出钢丝的伸长

量 δL 呢？

我们可以由相邻伸长位置的差值求出 9 个 δL ，然后取平均，则

$$\delta L = \frac{(y_2 - y_1) + (y_3 - y_2) + \cdots + (y_{10} - y_9)}{9}$$

从上式可以看出中间各 y_i 都消去了，只剩下 $y_{10} - y_1/9$ ，用这样的方法处理数据，中间各次测量结果均未起作用。

为了发挥多次测量的优越性，可以改变一下数据处理的方法，把前后数据分成两组， y_1, y_2, y_3, y_4, y_5 一组， $y_6, y_7, y_8, y_9, y_{10}$ 为另一组。讲两组中相应的数据想见得出 5 个 l_i ， $l_i = 5\delta L$ ，则

$$\delta L = \frac{(y_6 - y_1) + (y_7 - y_2) + (y_8 - y_3) + (y_9 - y_4) + (y_{10} - y_5)}{5 \times 5}$$

这种数据处理的方法称为逐差法，其优点是充分利用的所测数据，可以减小测量的随机误差，而且也可以减少测量仪器带来的误差。因此是实验中常用的一种数据处理的方法。

1.3 实验仪器

实验装置如图 1 所示。

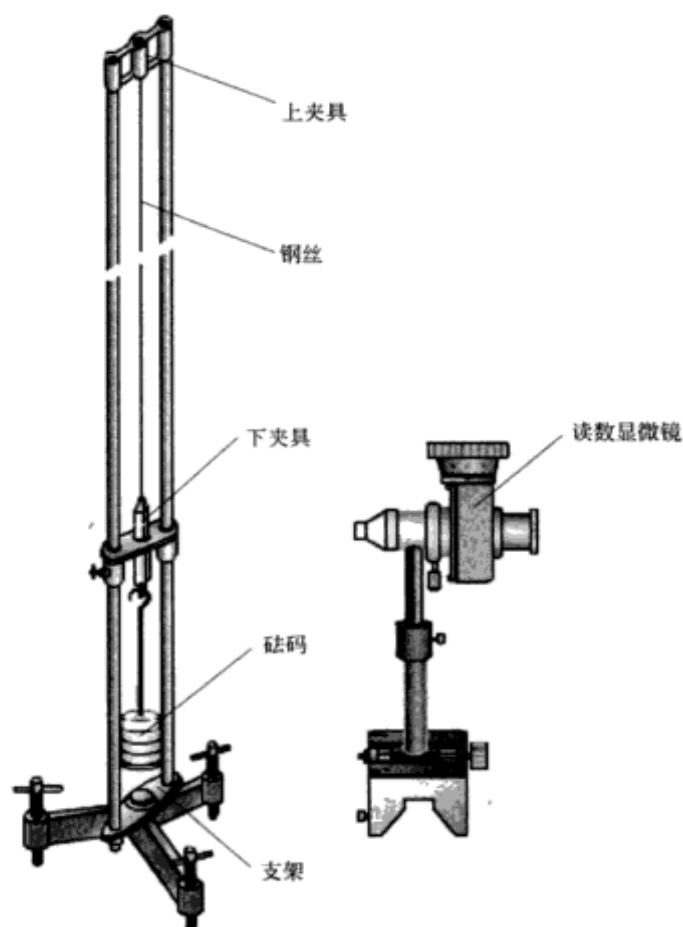


图 1 测量弹性模量的实验装置

1.4 数据处理

1. 测钢丝长度 L 及其伸长量 δL

仪器编号 2；钢丝长度 $L =$ 999 mm

序号	$F_i (F_i = mg)/N$	y_i/mm		$l'_i (l'_i = y_{i+5} - y_i)/\text{mm}$		$l_i \left(l_i = \frac{l_+ + l_-}{2} \right) / \text{mm}$
		增砝码时	减砝码时	增砝码时 l_+	减砝码时 l_-	
1	$0.200 \times 1 \times 9.80$	0.739	0.715	1.321	1.341	1.331
2	$0.200 \times 2 \times 9.80$	1.011	1.003	1.337	1.342	1.3395
3	$0.200 \times 3 \times 9.80$	1.312	1.294	1.272	1.289	1.2805
4	$0.200 \times 4 \times 9.80$	1.538	1.560	1.295	1.265	1.280
5	$0.200 \times 5 \times 9.80$	1.802	1.809	1.283	1.305	1.294
6	$0.200 \times 6 \times 9.80$	2.060	2.056			$\bar{l} = \frac{1}{5} \sum_{i=1}^5 l_i$ $= \underline{1.305} \text{ mm}$ <p>标准偏差</p> $s_l = \underline{0.0253} \text{ mm}$
7	$0.200 \times 7 \times 9.80$	2.348	2.345			
8	$0.200 \times 8 \times 9.80$	2.584	2.583			
9	$0.200 \times 9 \times 9.80$	2.833	2.825			
10	$0.200 \times 10 \times 9.80$	3.085	3.114			

$$\therefore \delta L = \frac{1}{5} \bar{l} = \frac{1}{5} \times 1.305 = 0.2616 \text{ mm}$$

不确定度计算：

$$\Delta_l = \sqrt{(\Delta_{l_{\text{仪}}})^2 + (s_l)^2}$$

本实验读数显微镜测某一位置 y_i 的仪器误差为 0.01mm，因此用它测量一段伸长量 $l = y_{i+5} - y_i$ ，则 l 的

$$\text{仪器误差为 } \Delta_{l_{\text{仪}}} = \sqrt{(\Delta_{y_{i+5 \text{ 仪}}})^2 + (\Delta_{y_{i \text{ 仪}}})^2} = \sqrt{2} \times 0.01 \text{ mm}$$

$$\text{所以 } \Delta_l = \sqrt{(\Delta_{l_{\text{仪}}})^2 + (s_l)^2} = \sqrt{(\sqrt{2} \times 0.01)^2 + 0.0253^2} = 0.02898 \text{ mm}$$

$$\text{又因为 } \delta L = \frac{1}{5} l, \text{ 所以 } \Delta_{\delta L} = \frac{1}{5} \Delta_l = 5.7969 \times 10^{-3} \text{ mm}$$

$$\therefore \delta L \pm \Delta_{\delta L} = (0.2616 \pm 0.0058) \text{ mm}$$

2. 测钢丝直径 D

测定螺旋测微计的零点 d （单位为 mm）

测量前 -0.015, -0.020, -0.015,

测量后 -0.019, -0.015, -0.021; 平均值 $\bar{d} =$ -0.0175 mm

序号	1	2	3	4	5	6
D_i/mm	0.208	0.205	0.204	0.205	0.203	0.205

钢丝的平均直径 $\bar{D} = 0.2225 \text{ mm}$, $s_D = 1.528 \times 10^{-3} \text{ mm}$

$$\Delta_D = \sqrt{(\Delta_{\text{仪}})^2 + (s_D)^2} = \sqrt{0.004^2 + (1.528 \times 10^{-3})^2} = 4.2819 \times 10^{-3} \text{ mm}$$

$$\therefore D \pm \Delta_D = (0.2225 \pm 0.0043) \text{ mm}$$

由以上数据可求出: $E = \frac{4FL}{\pi D^2 \delta L} = \frac{4 \times 0.2 \times 9.8 \times 0.999}{\pi \times 0.2225^2 \times 0.2616 \times 10^{-3}} = 1.9250 \times 10^{11} \text{ Pa} = 192.50 \text{ GPa}$

3. 总不确定度的计算

$$\begin{aligned} \frac{\Delta_E}{E} &= \sqrt{\left(\frac{\partial}{\partial F} \ln E\right)^2 (\Delta_F)^2 + \left(\frac{\partial}{\partial L} \ln E\right)^2 (\Delta_L)^2 + \left(\frac{\partial}{\partial D} \ln E\right)^2 (\Delta_D)^2 + \left(\frac{\partial}{\partial (\delta L)} \ln E\right)^2 (\Delta_{\delta L})^2} \\ &= \sqrt{\left(\frac{\Delta_F}{F}\right)^2 + \left(\frac{\Delta_L}{L}\right)^2 + \left(\frac{2\Delta_D}{D}\right)^2 + \left(\frac{\Delta_{\delta L}}{\delta L}\right)^2} \\ &= \sqrt{(0.5\%)^2 + \left(\frac{3}{999}\right)^2 + \left(\frac{2 \times 4.2819 \times 10^{-3}}{0.2225}\right)^2 + \left(\frac{5.7969 \times 10^{-3}}{0.2616}\right)^2} \\ &= 0.0447935 \end{aligned}$$

$$\therefore \Delta_E = 0.0447935 E = 0.0862 \times 10^{11} \text{ Pa}$$

$$\therefore E \pm \Delta_E = (192.50 \pm 8.62) \text{ GPa}$$

第二部分 动力学法测弹性模量

2.1 实验目的

- (1) 学习一种更实用, 更准确的测量弹性模量的方法;
- (2) 学习用实验方法研究与修正系统误差。

2.2 实验原理

如图 2 所示, 一根细长棒 (长度比横向尺寸大很多) 的横振动 (又称弯曲振动) 满足动力学方程:

$$\frac{\partial^2 \eta}{\partial t^2} + \frac{EI}{\rho S} \cdot \frac{\partial^4 \eta}{\partial x^4} = 0$$

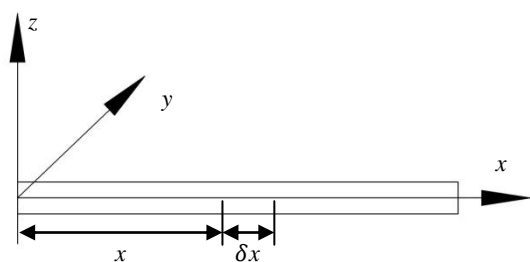


图 2 细长棒的弯曲振动

棒的轴线沿 x 方向, 式中 η 为棒上距左端 x 处截面的 z 方向位移, E 为该棒的弹性模量, ρ 为材料密度, S 为棒的

横截面积, I 为某一截面的惯性矩 $\left(I = \iint_S z^2 dS \right)$ 。

该方程的通解为

$$\eta(y, t) = (B_1 \operatorname{ch} Kx + B_2 \operatorname{sh} Kx + B_3 \cos Kx + B_4 \sin Kx) A \cos(\omega t + \varphi)$$

式中

$$\omega = \sqrt{\frac{K^4 EI}{\rho S}}$$

称为频率公式, 它对任意形状截面的试样, 不同的边界条件下都是成立的。我们只要根据特定的边界条件定出常数 K , 代入特定界面的惯量矩 I , 就可以得到具体条件下的关系式。

对于用细线悬挂起来的棒, 若悬线位于棒作横振动的节点若悬线位于棒作振动的节点 J 、 J_1 点附近, 并且棒的两端均处于自由状态, 那么在两端面上, 横向作用力 F 与弯矩均为零。横向作用力

$$F = \frac{\partial M}{\partial x} = -EI \frac{\partial^3 \eta}{\partial x^3}, \text{ 弯矩 } M = -EI \frac{\partial^2 \eta}{\partial x^2}, \text{ 则边界条件有 4 个, 即}$$

$$\begin{aligned} \left. \frac{d^3 X}{dx^3} \right|_{x=0} &= 0, & \left. \frac{d^3 X}{dx^3} \right|_{x=l} &= 0 \\ \left. \frac{d^2 X}{dx^2} \right|_{x=0} &= 0, & \left. \frac{d^2 X}{dx^2} \right|_{x=l} &= 0 \end{aligned}$$

l 为棒长。将通解带入边界条件得

$$\cos Kl \cdot \operatorname{ch} Kl = 1$$

用数值解法可求得满足上式的一系列根 $K_n l$, 其值为 $K_n l = 0, 4.730, 7.853, 10.966, 14.137, \dots$ 。

其中 $K_0 l = 0$ 的根对应于静止状态。因此将 $K_1 l = 4.730$ 记作第一个根, 对应的振动频率称为基振频率, 此时棒的振幅分布如图 3(a) 所示, $K_2 l$ 、 $K_3 l$ 对应的振形依次为图 3(b)、(c)。从图 3(a) 可以看出试样在作基频振动的时候, 存在两个节点, 根据计算, 它们的位置分别距端面在 $0.224l$ 和 $0.776l$ 处。对应于 $n=2$ 的振动, 其振动频率约为基频的 2.5~2.8 倍, 节点位置在 $0.132l$, $0.500l$, $0.868l$ 处。

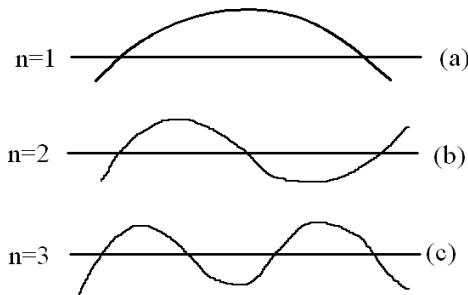


图 3 两端自由的棒弯曲振动的前三阶振幅分布

将第一个 $K = \frac{4.730}{l}$ 的 K 值带入 $\omega = \sqrt{\frac{K^4 EI}{\rho S}}$ 中, 得到棒作基频振动的固有频率

$$\omega = \sqrt{\frac{4.730^4 EI}{\rho l^4 S}}$$

解出弹性模量

$$E = 1.9978 \times 10^{-3} \times \frac{\rho l^4 S}{I} \omega^2 = 7.8870 \times 10^{-2} \frac{l^3 m}{I} f^2$$

上式中 m 为棒的质量, $m = \rho l S$; f 为圆棒的基振频率。对于直径为 d 的圆棒, 惯量矩 $I = \iint_S z^2 dS = \frac{\pi d^4}{64}$,

带入上式得

$$E = 1.6067 \frac{l^3 m}{d^4} f^2$$

这就是本实验用的计算公式。

实际测量时, 由于不能满足 $d \ll l$, 此时上式应乘上一修正系数 T_1 , 即

$$E = 1.6067 \frac{l^3 m}{d^4} f^2 T_1$$

T_1 可根据 d/l 的不同数值和材料的泊松比查表得到。

2.3 实验装置

实验装置见图 4。

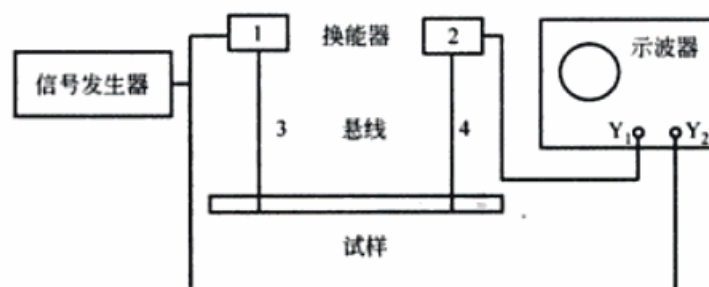


图 4 动力学法测弹性模量实验装置

2.4 实验任务

- (1) 连接线路, 阅读信号发生器及示波器的有关资料, 学习调节和使用方法。
- (2) 测量被测样品的长度、直径（在不同部位测 6 次取平均值）及质量。质量测量用数显电子天平。本实验用的样品为黄铜棒。
- (3) 测样品的弯曲振动基振频率。

理论上样品作基频共振时, 悬点应置于节点处, 即悬点应置于距棒两端面分别为 $0.224l$ 和 $0.776l$ 处。但是在这种情况下, 棒的振动无法被激发。欲激发棒的振动, 悬点必须离开节点位置。这样又与理论条件不一致, 势必产生系统误差。故实验上采用下述方法测棒的弯曲振动基频频率: 在基频节点处正负 30mm 范围内同时改变两悬线位置, 每隔 5mm~10mm 测一次共振频率。画出共振频率与悬线位置关系曲线。由该图可准确求出悬线在节点位置

的基频共振频率，其值约在几百赫兹量级。

2.5 数据记录及处理

1. 被测样品的长度、直径和质量

长度 $l = 20.922\text{cm}$ ，质量 49.37g

螺旋测微计零点位置 d （单位为 mm）

测量前 0.000 ， 0.000 ， 0.000 ，

测量后 0.000 ， 0.000 ， 0.000 ；平均值 $\bar{d} = 0.000$

序号	1	2	3	4	5	6
D_i/mm	5.976	5.976	5.980	5.977	5.975	5.978

则黄铜棒的平均直径 $\bar{D} = 5.977\text{mm}$ ， $s_D = 0.001633\text{mm}$

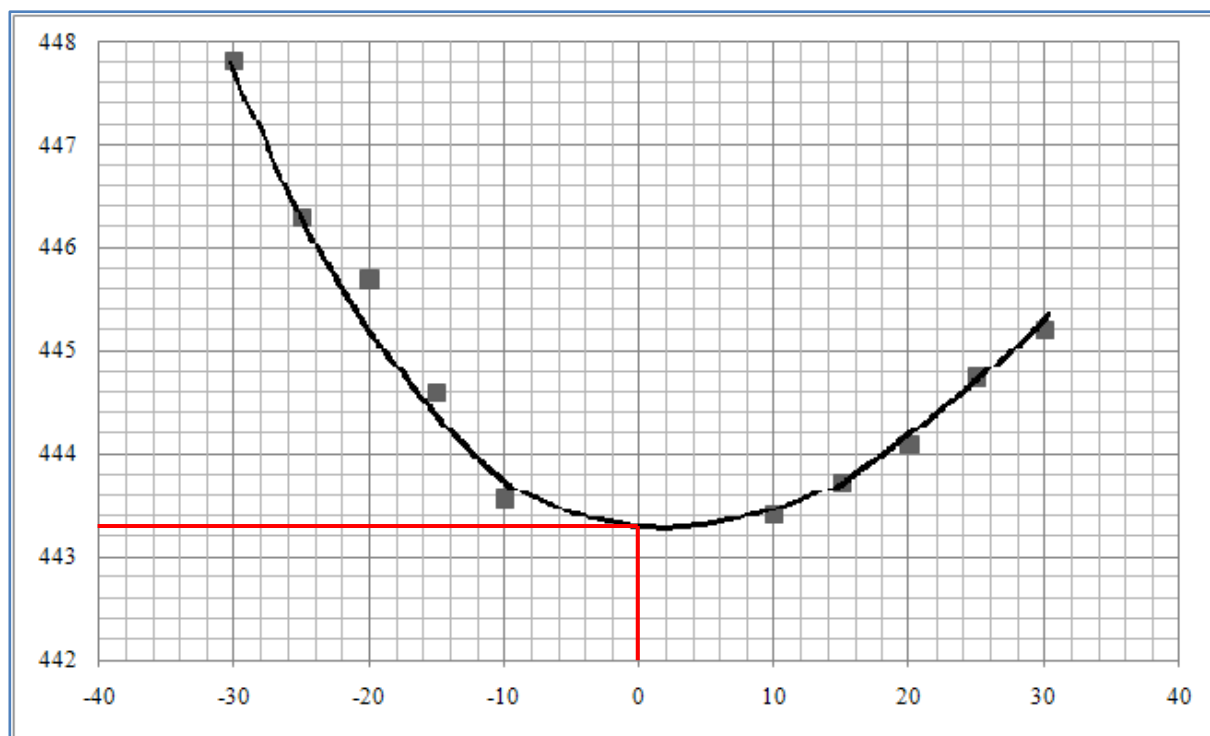
$$\Delta_D = \sqrt{(\Delta_{\text{仪}})^2 + (s_D)^2} = \sqrt{0.004^2 + (1.633 \times 10^{-3})^2} = 4.3205 \times 10^{-3}\text{mm}$$

$$\therefore D \pm \Delta_D = (5.977 \pm 0.004)\text{mm}$$

2. 测基振频率

悬线位置 x/mm	-30	-25	-20	-15	-10	10	15	20	25	30
共振频率 f/Hz	447.82	446.30	445.70	444.60	443.57	443.42	443.72	444.10	444.75	445.21

作出 f - x 曲线如图 5。



由图线上读出：在 $x=0$ 处， $f=443.26\text{Hz}$ 。

由以上数据可求得

$$\begin{aligned}
 E &= 1.6067 \frac{l^3 m}{D^4} f^2 T_1 \\
 &= 1.6067 \times \frac{0.20922^3 \times 49.37 \times 10^{-3}}{(5.977 \times 10^{-3})^4} \times 443.26^2 \times 1.0046 \\
 &= 1.1683 \times 10^{11} \text{ Pa} \\
 &= 116.83 \text{ GPa}
 \end{aligned}$$

下面计算 E 的不确定度 Δ_E

$$\frac{\Delta_E}{E} = \sqrt{\left(\frac{\partial}{\partial l} \ln E\right)^2 (\Delta_l)^2 + \left(\frac{\partial}{\partial m} \ln E\right)^2 (\Delta_m)^2 + \left(\frac{\partial}{\partial f} \ln E\right)^2 (\Delta_f)^2 + \left(\frac{\partial}{\partial D} \ln E\right)^2 (\Delta_D)^2}$$

其中,

$$\ln E = \ln 1.6067 + \ln T_1 + 3 \ln l + \ln m + 2 \ln f - 4 \ln D$$

故

$$\frac{\partial \ln E}{\partial l} = \frac{3}{l}, \quad \frac{\partial \ln E}{\partial m} = \frac{1}{m}, \quad \frac{\partial \ln E}{\partial f} = \frac{2}{f}, \quad \frac{\partial \ln E}{\partial D} = -\frac{4}{D}$$

$$\begin{aligned}
 \therefore \frac{\Delta_E}{E} &= \sqrt{\left(\frac{3\Delta_l}{l}\right)^2 + \left(\frac{\Delta_m}{m}\right)^2 + \left(\frac{2\Delta_f}{f}\right)^2 + \left(\frac{4\Delta_D}{D}\right)^2} \\
 &= \sqrt{\left(\frac{3 \times 0.002}{20.922}\right)^2 + \left(\frac{0.05}{49.37}\right)^2 + \left(\frac{2 \times 0.10}{443.26}\right)^2 + \left(\frac{4 \times 4.3205 \times 10^{-3}}{5.977}\right)^2} \\
 &= 0.00311 \\
 \therefore \Delta_E &= 0.00311E = 0.0036 \times 10^{11} \text{ Pa} \\
 \therefore E \pm \Delta_E &= (116.83 \pm 0.36) \text{ GPa}
 \end{aligned}$$

第三部分 实验总结

拉伸法和动力学法相比, 操作比较简单, 但是如果用拉伸法测铜棒的弹性模量就不太可行, 因为铜棒的截面积比较大, 要产生读数显微镜可辨的伸长量, 需加的外力就要很大。而对于细钢丝的弹性模量, 动力学法也是不合适的, 因为钢丝太细了, 质量也很小, 在振动过程中受到其他扰动也比较大, 随机误差较大, 而且共振点不容易判断。

在我做过的几个涉及到振动的实验当中, 共振点的判断都是比较困难的。我之前做过的理论力学实验“单自由度振动系统固有频率和阻尼比测定”当中, 用传感器采集振动信息, 并能在计算机中显示幅值和相位的即时值, 但共振点仍然很难找, 确切地说是“找不出来”, 因为振动情况的随机波动太大了。本次实验中用的是示波器, 随机误差相比会更大。

从相对不确定度来看, 拉伸法的 $\Delta_E/E = 0.045$, 动力学法的 $\Delta_E/E = 0.003$, 远小于前者, 说明了动力学法的系统误差更小。

对于作 f - x 图线所使用的最小二乘法，我有一个疑问。这种方法的确是能“充分发挥所有数据用途”，但似乎只有当我们预先清楚地知道 x - y 图的性质（线性、抛物线 etc.）时才能这么做。如果面对一个未知的 x - y 关系，需要通过实验得到的数据（或蕴藏在极复杂的隐函数 $z=F(x,y)$ 中^(*)）来将其揭示出来，如果使用了最小二乘法，没有通过每一个数据点，那么数据点的那些“拐弯”、“凸起”等趋势不也就浪费了吗？而且还会造成错误。

2008 年 12 月 22 日

（原始数据表格见附页）